

УДК 532.546+536.25

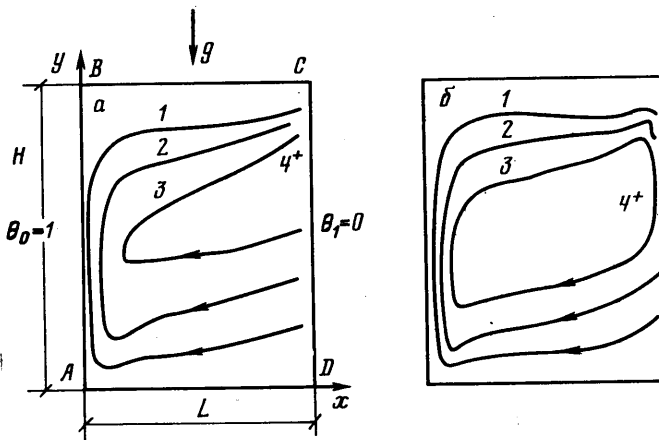
## ЕСТЕСТВЕННАЯ КОНВЕКЦИЯ В ПОРИСТОМ СЛОЕ С ПРОНИЦАЕМОЙ ГРАНИЦЕЙ

И. С. КЛЕЙН

(Москва)

Естественная конвекция в вертикальном пористом слое, подогреваемом сбоку, изучается численно для случая, когда имеется массообмен с окружающей средой. На проницаемой части границы задаются условия первого или третьего рода для давления, что соответствует свободной поверхности или тонкому проницаемому покрытию. Получены сведения о структуре и режимах стационарной конвекции в слое, зависимости средних и локальных характеристик теплопередачи от числа Рэлея. Результаты сопоставляются с данными работ [1-3].

1. **Постановка задачи.** Рассматривается естественная конвекция в плоском вертикальном слое пористого материала, подогреваемом сбоку. Поровое пространство



Фиг. 1

заполнено газом и сообщается с окружающей атмосферой через поверхность  $CD$  (Фиг. 1, а), которая предполагается проницаемой. Остальные границы ( $DA$ ,  $AB$  и  $BC$ ) непроницаемы,  $BC$  и  $AD$ , кроме того, теплоизолированы. На поверхности  $CD$  задана постоянная температура  $\theta_1$ , равная температуре атмосферы. На  $AB$  поддерживается постоянная температура  $\theta_0 > \theta_1$ . Естественная конвекция в слое порождает газообмен с атмосферой через поверхность  $CD$ .

Используется модель двумерной стационарной конвекции в гомогенной изотропной пористой среде, основанная на приближении Буссинеска и линейном законе для фильтрации газа [1, 2]. Уравнения для безразмерных величин в декартовой системе координат, изображенной на Фиг. 1, а, имеют вид

$$(1.1) \quad \frac{\partial u}{\partial x} + \frac{\partial v}{\partial y} = 0$$

$$(1.2) \quad u = -\frac{\partial p}{\partial x}, \quad v = -\frac{\partial p}{\partial y} + \theta$$

$$(1.3) \quad u \frac{\partial \theta}{\partial x} + v \frac{\partial \theta}{\partial y} = \frac{1}{Ra} \Delta \theta$$

Здесь  $\theta = \theta(x, y)$  — температура;  $u, v$  — составляющие скорости фильтрации;  $p$  — отклонение давления от статического, отвечающего температуре  $\theta_1$ ;  $Ra = g\beta(\theta_0 - \theta_1)LKc_0\lambda^{-1}\nu^{-1}$  — число Рэлея для пористой среды, причем  $\lambda$  — теплопроводность среды при отсутствии течения. Для перехода к безразмерным переменным использованы масштабы длины  $L$  (толщина слоя), температуры  $\theta_0 - \theta_1$ , скорости  $K\nu^{-1}g\beta(\theta_0 - \theta_1)$ , давления  $\rho g\beta(\theta_0 - \theta_1)L$ , где  $K$  — проницаемость среды;  $c_0, \rho, \nu, \beta$  —

соответственно объемная теплоемкость, плотность, кинематическая вязкость, коэффициент температурного расширения теплоносителя;  $g$  – ускорение силы тяжести.

Для расчетов (1.1), (1.2) преобразованы в уравнение

$$(1.4) \quad \Delta p = \frac{\partial \theta}{\partial y}$$

Граничные условия имеют вид

$$(1.5) \quad \theta=1 \quad (x=0), \quad \theta=0 \quad (x=1), \quad \frac{\partial \theta}{\partial y} = 0 \quad (y=0, h)$$

$$(1.6) \quad \frac{\partial p}{\partial x} = 0 \quad (x=0), \quad \frac{\partial p}{\partial y} = \theta \quad (y=0, h)$$

$$(1.7) \quad \eta \frac{\partial p}{\partial x} = -p \quad (x=1)$$

( $h=H/L$ , где  $H$  – высота слоя).

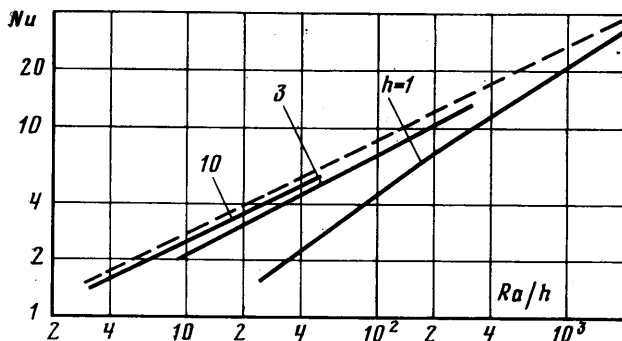
Соотношение (1.6) выражает равенство нулю нормальной компоненты скорости на непроницаемых участках границы. Условие (1.7) описывает газообмен с окружающей атмосферой через проницаемое покрытие на поверхности  $CD$  (фиг. 1, а), толщина  $l$  которого много меньше толщины слоя. При этом безразмерный параметр  $\eta = KlK_0^{-1}L^{-1}$ , где  $K_0$  – проницаемость покрытия. При  $\eta=0$  условие (1.7) переходит в  $p=0$  ( $x=1$ ) и отвечает свободной поверхности  $CD$ .

Стационарное решение системы (1.2)–(1.7) рассчитывается методом установления с помощью монотонной неявной разностной схемы расщепления типа А. А. Самарского [4]. Для решения уравнения (1.4) во внутреннем цикле используется итерационный процесс из 2<sup>х</sup> шагов метода переменных направлений с оптимальным набором параметров по Вашпрессу [4, 5].

Расчеты выполнены в диапазоне  $Ra \leq 2000$ ,  $0.5 \leq H/L \leq 10$ ,  $0 \leq \eta \leq 100$ . Основными искомыми величинами, представляющими интерес для приложений, являются локальное и среднее числа Нуссельта на стенке

$$Nu_l(y) = - \left( \frac{\partial \theta}{\partial x} \right)_{x=0}, \quad Nu = - \frac{1}{h} \int_0^h \left( \frac{\partial \theta}{\partial x} \right)_{x=0} dy$$

2. Результаты расчетов для слоя со свободной поверхностью  $CD$ . На фиг. 1, а приведены изолинии функции тока стационарного течения при  $H/L=1$ ,  $Ra=500$ ,  $\eta=0$ . В слое со свободной границей в диапазоне  $Ra \leq 2000$ ,  $0.5 \leq H/L \leq 10$  реализуется сквозное течение, внутри слоя отсутствуют замкнутые линии тока. Функция тока достигает минимального значения на свободной границе в точке разворота потока.



Фиг. 2

Вблизи подогреваемой стенки  $x=0$  имеется восходящее течение. Более теплый газ из верхней части слоя под действием избыточного давления выносится в атмосферу через поверхность  $CD$ . Отток теплого газа восполняется поступлением холодного газа из атмосферы в нижнюю часть слоя.

Результаты расчетов средней теплоотдачи для вертикального слоя со свободной границей показаны сплошными линиями на фиг. 2, 3 (на фиг. 3 кривые 1–4 отно-

сятся последовательно к значениям  $Ra=50, 100, 200, 300$ ). Распределение локального числа Нуссельта на стенке  $x=0$  при  $H/L=1$  показано на фиг. 4 сплошными кривыми 1-4 для значений  $Ra=25, 100, 500, 2000$ . Анализ теплоотдачи, полей температуры и скорости позволяет выделить три характерных режима по числу Рэлея. При слабой конвекции в диапазоне чисел  $Ra$  приблизительно до 50 вклад конвективной теплоотдачи мал или сопоставим с кондуктивной теплопроводностью. В режиме умеренной конвекции, в диапазоне чисел Рэлея приблизительно от 50 до 300, конвективный перенос становится преобладающим. Начинается формирование температурного и динамического пограничных слоев у стенки  $x=0$ , которые, однако, еще не слишком сильно выражены. Режим интенсивной конвекции при числах Рэлея свыше  $300 \div 500$  характеризуется образованием развитого пограничного слоя у стенки  $x=0$ . Для расчетов интенсивной конвекции использованы неравномерные сетки по переменной  $x$ , сгущающиеся вблизи стенки  $x=0$ .

Распределение местной теплоотдачи на стенке  $x=0$  в режимах умеренной и интенсивной конвекции, как видно из фиг. 4, отличается существенной неравномерностью. Имеется сильно выраженный максимум теплоотдачи вблизи угла, где поток газа набегает на стенку  $x=0$ . Теплоотдача снижается вниз по течению вдоль стенки. Аналогичный характер распределения теплопотока на нагретой стенке установлен в [1] для слоя с непроницаемой границей.

Зависимость среднего числа Нуссельта от удлинения слоя  $H/L$ , показанная на фиг. 3, характерна наличием максимума при значениях  $H/L$  в интервале  $0.75 \div 1.5$ .

3. Сопоставление с данными работ [1-3]. На фиг. 2, 4 результаты расчетов локального и среднего чисел Нуссельта в слое со свободной границей сопоставляются с автомоделным решением уравнений пограничного слоя [2] для естественной конвекции в пористой среде вблизи вертикальной изотермической пластины (пунктир). Согласно этому решению

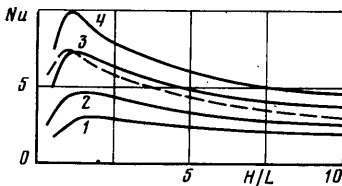
$$(3.1) \quad Nu_c(y) = 0.444(Ra/y)^{1/2}, \quad Nu = 0.888(Ra/h)^{1/2}$$

(параметры  $Nu_c, Nu, Ra, y, h$  рассчитаны по масштабу длины  $L$ ). Можно видеть, что в диапазонах  $H/L \geq 1, Ra \geq 500$  и  $H/L \geq 10, Ra \geq 100$  результаты расчетов полных уравнений близки к автомоделному решению (3.1).

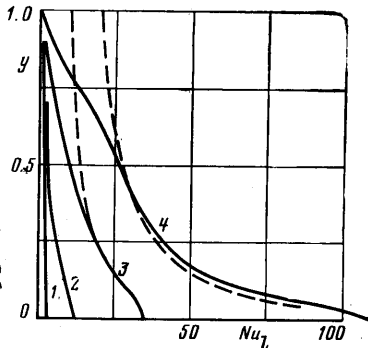
На фиг. 3 дано сопоставление средней теплоотдачи в слое с непроницаемой границей (пунктир, данные [1]) и в слое со свободной границей при  $Ra=300$ . Сопоставление показывает, что массообмен с окружающей средой при естественной конвекции в слое со свободной границей интенсифицирует теплоотдачу.

Отметим, что результаты расчетов средней теплоотдачи при естественной конвекции в слое со свободной границей (фиг. 2) хорошо согласуются с данными работы [3].

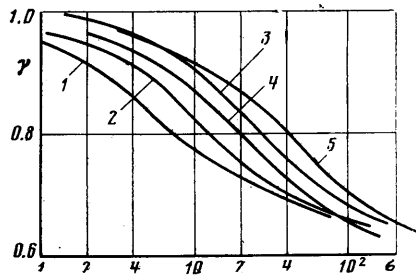
4. Результаты расчетов для слоя с проницаемым покрытием. В слое с проницаемым покрытием на боковой границе наряду со сквозными токами имеются замкнутые, как показано на фиг. 1, б, относящейся к  $H/L=1$ ,



Фиг. 3



Фиг. 4



Фиг. 5

$Ra=500, \eta=1$ . Точка минимума функции тока, которая при  $\eta=0$  лежала на границе слоя  $x=1$ , при  $\eta>0$  располагается внутри области и с увеличением параметра  $\eta$  смещается к центру слоя.

Замкнутыми токами теплый газ выносится в нижние области слоя, что способствует их прогреву и ведет к снижению теплоотдачи от нагретой стенки. С ростом  $\eta$

при высоких числах Рэлея формируются тепловой и динамический пограничные слои на стенке  $x=1$ , а температурное расслоение в центральном вертикальном сечении приближается к однородному с постоянным градиентом по высоте, характерному для слоя с непроницаемой границей [1].

Влияние проницаемости границы на среднюю теплоотдачу в обобщенной форме иллюстрирует фиг. 5, на которой дана обработка результатов расчетов в координатах  $\gamma = Nu/Nu_0 - \sigma$ , где  $\sigma = \eta(Ra/h)^h$ , а  $Nu_0$  — среднее число Нуссельта для слоя со свободной границей. Кривые 1–5 отвечают значениям  $h=1$ ,  $Ra=100$ ;  $h=1$ ,  $Ra=200$ ;  $h=1$ ,  $Ra=500$ ;  $h=3$ ,  $Ra=100$ ;  $h=10$ ,  $Ra=100$ . При  $\sigma \leq 1$  теплоотдача близка к рассчитанной для слоя со свободной границей. Отношение  $Nu/Nu_0$  монотонно убывает с ростом  $\sigma$  и при  $\sigma \geq 10^2$  приближается к асимптотическому значению, близкому к 0.63, причем среднее число Нуссельта  $Nu$  стремится к предельному значению, соответствующему слою с непроницаемой границей.

Автор благодарен В. И. Полежаеву за руководство работой.

Поступила 16 IV 1977

#### ЛИТЕРАТУРА

1. Власюк М. П., Полежаев В. И. Естественная конвекция и перенос тепла в проницаемых пористых материалах. М., Препринт № 77 ин-та прикл. матем. АН СССР, 1975.
2. Авдучевский В. С., Калашиник В. Н., Копятевич Р. М. Исследование теплоотдачи при естественной конвекции в газонаполненных пористых средах при больших давлениях. Сб. «Тепломассообмен-5», т. 1. ч. 2. Минск, 1976.
3. Jannot M., Naudin P., Viannaу S. Convection mixte en milieu poreux. Intern. J. Heat Mass Transfer, 1973, vol. 16, No. 2.
4. Самарский А. А. Введение в теорию разностных схем. М., «Наука», 1971.
5. Федоренко Р. П. Итерационные методы решения разностных эллиптических уравнений. Усп. матем. н., 1973, т. 28, № 2.

УДК 532.593

### ПЛОСКАЯ ЗАДАЧА О ВОЛНОВЫХ ДВИЖЕНИЯХ, ВОЗНИКАЮЩИХ В НЕПРЕРЫВНО СТРАТИФИЦИРОВАННОЙ ЖИДКОСТИ ПРИ ОБТЕКАНИИ ПОГРУЖЕННОГО ТЕЛА<sup>1</sup>

И. В. СТУРОВА, В. А. СУХАРЕВ

(Новосибирск)

В линейной постановке исследована плоская стационарная задача о волновых движениях, возникающих при обтекании погруженных источника и стока равной мощности равномерным потоком тяжелой невязкой несжимаемой жидкости с произвольным непрерывным (устойчивым) изменением плотности по глубине. В [1] выполнен анализ структуры волнового движения в потоке при произвольном изменении плотности.

Рассмотрим плоскую стационарную задачу о волновых движениях, вызываемых наличием источника и стока равной мощности  $m$ , помещенных на глубине  $h$  от невозмущенной свободной поверхности  $y=0$  горизонтального слоя жидкости  $-\infty < x < \infty$ ,  $-H \leq y \leq 0$ . Отрезок прямой, соединяющий особенности, имеет длину  $2a$  и параллелен оси  $x$ , совпадающей с направлением вектора скорости жидкости далеко вверх по потоку.

Считается, что в первом приближении обтекание такой комбинации источника и стока при достаточно большом погружении и относительно слабой стратификации эквивалентно (аналогично случаю безграничной однородной жидкости) обтеканию овала Ренкина. Максимальная полуширина тела  $R$ , его удлинение  $d$  и скорость основного потока  $U$  однозначно определяют величины  $a_* = a/R$  и  $m_* = m/UR$ , удовлетворяющие уравнению (см., например, [2])  $a_*^2 + a_*/\operatorname{arctg} a_* = d^2$ ,  $m_* = \pi/\operatorname{arctg} a_*$ .

В невозмущенном состоянии плотность жидкости является известной функцией  $\rho_0(y)$ , зависящей только от глубины.

<sup>1</sup> Работа доложена на первом советско-американском симпозиуме по внутренним волнам в океане (3–8 декабря 1976 г., Новосибирск).